



بیستمین کنفرانس اپتیک و فوتونیک ایران
و ششمین کنفرانس مهندسی و فناوری فوتونیک ایران
۸ تا ۱۰ بهمن ماه ۱۳۹۲ - دانشگاه صنعتی شیراز



نور کند بدون پاشندگی در موجبر بلور فوتونی با شبکه لانه زنبوری

محمد مهدی جهان‌بخشیان و روح الله کریم زاده

دانشکده فیزیک، دانشگاه شهید بهشتی، تهران

چکیده - این پژوهش به بررسی خواص نور کند در یک موجبر بلور فوتونی در شبکه‌ی لانه‌زنبوری می‌پردازد. برای این ساختار ضریب شکست گروه، پاشندگی و رفتار تخت با روش بسط امواج تخت محاسبه شده است. محاسبات عددی نشان می‌دهد که رفتار تخت باند هدایت، پاشندگی و ضریب شکست گروه با تغییر عرض دهانه‌ی موجبر و شعاع حفره‌ها بهبود می‌یابد.

کلید واژه - بلور فوتونی، پاشندگی، نور کند

Dispersionless Slow light photonic crystal waveguide in Honeycomb lattice

M.Jahanbakhshian¹ and R.Karimzadeh¹

¹Department of Physics, Shahid Beheshti University, Tehran

Abstract- In this paper we have studied the slow light properties of photonic crystal waveguide in honeycomb lattice. For this structure, the group index, dispersion and the flat band behavior are calculated through the plane wave expansion method. It is shown that by changing the hole size and the width of the waveguide, the group index, dispersion and behavior of flat band can be improved.

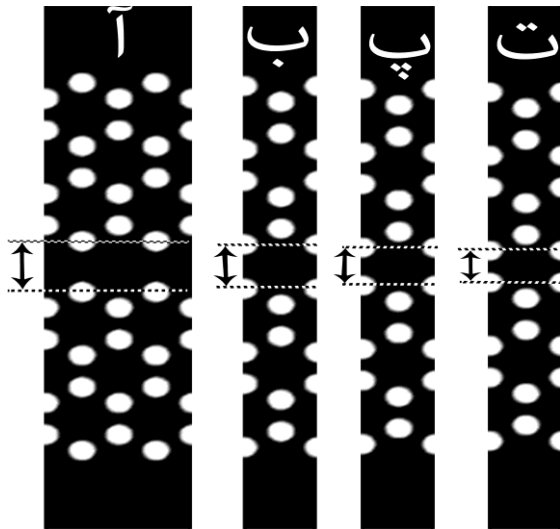
Keywords: dispersion, photonic crystal, slow light

۱- مقدمه

مشاهده می‌شود که با تغییر شعاع و دهانه موجبر می‌توان به ضریب شکست گروه برابر با ۳۷ دست یافت. در حالی- که پاشندگی مرتبه دو آن نزدیک به صفر است.

۲- طراحی موجبر

در طراحی این موجبر از پایه مثلثی با شبکه لانه زنبوری استفاده شده است، تفاوت شبکه مثلثی و این شبکه در تعداد حفره‌ها در یک منطقه شبکه است. در این نوع شبکه دو حفره در هر منطقه وجود دارد. همانطور که در شکل ۱ مشاهده می‌شود برای تشکیل موجبر دو سمت محور موجبر را به طور متقارن از محور موجبر فاصله می‌دهیم تا عرض آن به مقدار مشخص برسد (عرض موجبر دهانه موجبر در حالتی که تغییری در آن ایجاد نشود برابر با A است). برای محاسبه روابط پاشندگی از بسط امواج تخت دو بعدی [۱۰] با ضریب شکست معادل ۲.۹ با نرم افزار mpb [۱۱] و روش ابر سلول با اندازه $a(1 \times 11)$ استفاده شده است (a ثابت شبکه).



شکل ۱ ابر سلول استفاده شده در محاسبات برای عرض موجبرهای مختلف، شکل آ دهانه‌ی موجبر 1/6A، شکل ب 1/4A، شکل پ 1/2A، شکل ت 1/0A، عرض موجبر در حالت بدون انتقال

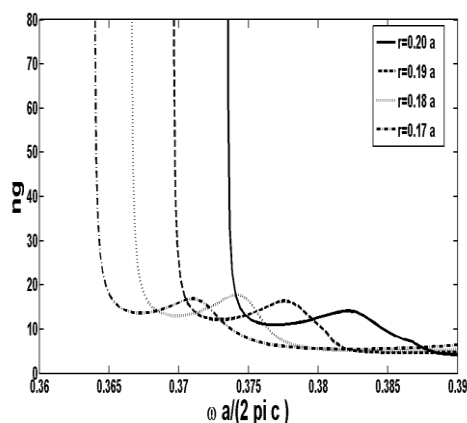
۳- نتایج

مدهای که در داخل باند ممنوعه و زیر خط نوری قرار گرفته‌اند را مدهای هدایت می‌نامند. این مدها با توجه به تقارن موجبر به دو نوع زوج و فرد تقسیم می‌شوند. در این پژوهش مد TE زوج را بررسی خواهیم کرد. در محاسبه‌ی ضریب شکست گروه و پاشندگی مرتبه دو از روابط زیر استفاده می‌شود:

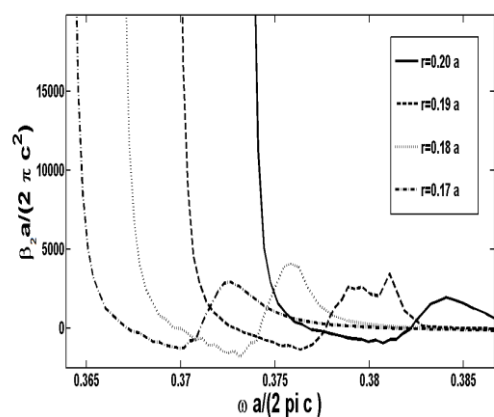
بلورهای فوتونی، محیطی با ضریب شکست متناوب هستند، که تناوب آن‌ها از مرتبه طول موج نور است. این تناوب باعث به وجود آمدن یک باند ممنوعه در رابطه‌ی پاشندگی بلور فوتونی می‌شود یعنی به ازای هر عدد موج هیچ فرکانسی در این محیط منتشر نخواهد شد و فقط دامنه میدان در محیط میرا می‌شود [۱]. با افزودن ناخالصی به یک بلور فوتونی می‌توان یک فرکانس، یک مد و حتی چند مد را داخل باند ممنوعه بلور فوتونی به وجود می‌آید. به عنوان نمونه با اضافه کردن یک ناخالصی خطی (حذف یک ردیف از حفره‌ها) به بلور فوتونی یک موجبر به وجود می‌آید. این ناخالصی باعث می‌شود یک یا چند مد در داخل باند ممنوعه بلور فوتونی تشکیل شود. این موجبر در راستای ناخالصی خطی نور را هدایت می‌کند [۲] که با این ویژگی موجبر می‌توان قطعاتی با بازتاب صفر و انحنای تند طراحی نمود [۳ و ۴]. در نور کند برهمکنش نور و ماده نسبت به نور معمولی افزایش می‌یابد این ویژگی باعث می‌شود که برای مشاهده اثرات اپتیکی خطی یا غیر خطی، توان ورودی یا طول نمونه کمتر نیاز باشد. در خطوط تاخیر مخابرات نیز لازم است که پالس نوری را برای مدت زمانی بدون تغییر نگه‌داری کرد به همین علت موجبرهای بلور فوتونی نور کند بدون پاشندگی کاربردهای فراوانی در خطوط تاخیر و اپتیک غیر خطی دارد.

برای ایجاد نور کند لازم است سرعت گروه را کاهش دهیم. در پی کاهش سرعت گروه، پاشندگی سرعت گروه GVD افزایش می‌یابد، افزایش GVD نیز موجب می‌شود تا پالس نوری هنگام انتشار، بهم ریخته و شکل اصلی خود را از دست بدهد [۵]. به همین علت موجبر بلور فوتونی باید اثرات پاشندگی نداشته باشد در نتیجه باید با روش‌های مختلف GVD موجبر را کنترل کرد که از جمله این روش‌ها می‌توان به تغییر شعاع دو ردیف اول موجبر [۶]، تغییر دهانه‌ی موجبر [۷]، انتقال افقی و عمودی در ردیف ابتدایی نسبت به محور موجبر [۸] ایجاد شکاف و استفاده از حفره‌های حلقوی شکل [۹] اشاره کرد.

در این پژوهش برای بدست آوردن ضریب شکست گروه مناسب و پاشندگی نزدیک به صفر از شبکه لانه زنبوری با شعاع مختلف و دهانه‌ی متفاوت استفاده شده است.



شکل ۳. ضریب شکست گروه بر حسب فرکانس بهنجار برای شعاع 0/2a (خط)، 0/19a (خط چین)، 0/18a (نقطه چین) و 0/17a (خط نقطه)



شکل ۴. پاشندگی مرتبه دوم بر حسب فرکانس بهنجار برای شعاع 0/2a (خط)، 0/19a (خط چین)، 0/18a (نقطه چین) و 0/17a (خط نقطه)

همانطور که در شکل ۴ مشخص است، پاشندگی این نوع شبکه از مرتبه $10^3 \frac{a}{2\pi c^2}$ است (a ثابت شبکه، c سرعت نور) که با انتخاب ثابت شبکه $a=640\text{nm}$ این پاشندگی از مرتبه $\frac{S^2}{m} 10^{-21}$ می شود که مقدار مناسبی است.

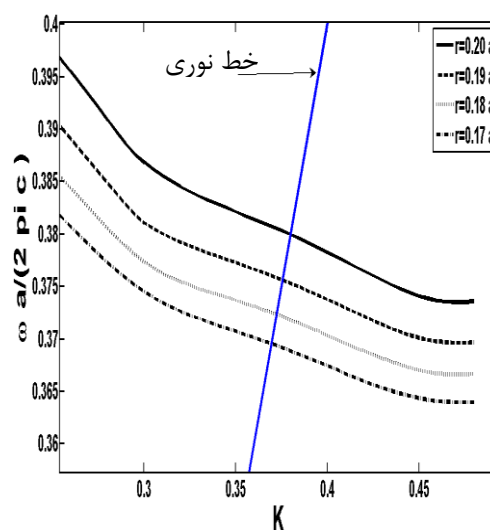
موجبر با عرض $d=1A$ رفتار تخت از خود نشان نداده و پاشندگی بزرگی دارد هنگامیکه عرض موجبر را افزایش می دهیم و به $d=1/2A$ می رسانیم، رفتار تخت و پاشندگی بهبود می یابد (شکل ۵). با افزایش مجدد آن و رساندن به $d=1/4A$ مشاهده می کنیم که موجبر دو مد هدایت دارد در صورتیکه در حالات قبل تک مد بوده است (شکل ۷ و ۵). مد هدایت دوم این موجبر خاصیت تخت از خود نشان نداده و پاشندگی بزرگی را داراست اما مد اول دارای

$$V_g = \frac{\partial \omega}{\partial k} \quad (1)$$

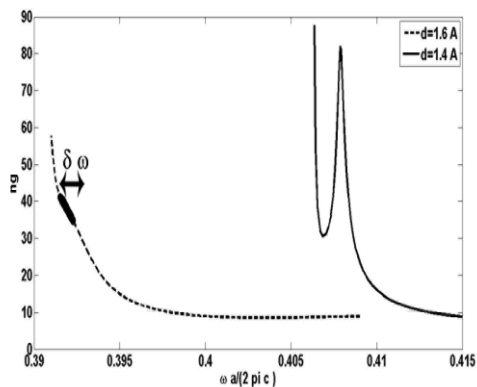
$$\beta_2 = \frac{\partial^2 k}{\partial \omega^2} = \frac{1}{V_g^3} \frac{\partial^2 \omega}{\partial k^2} \quad (2)$$

در شکل ۲، با کاهش شعاع حفره ها یک انتقال کاهشی در فرکانس ها و تغییر کمی در رفتار تخت باند مشاهده می شود. طبق نظریه ی تغییرات الکترومغناطیس [۱۲] مد فرکانس های کمتر، در محیط با ضریب گذردهی بیشتر متمرکز است، هنگامیکه که شعاع حفره ها را کاهش می دهیم باعث افزایش ضریب شکست معادل موجبر می شود در نتیجه یک انتقال قرمز در باند هدایت مشاهده می شود.

در موجبر نور کند دو نوع مکانیزم هدایت وجود دارد، هدایت تحت تاثیر ضریب شکست که مانند هدایت نور در فیبر نوری عمل میکند و هدایت باند ممنوعه [۷]. نقطه ی برخورد این دو هدایت رفتار تخت باند و پهنای باند فرکانسی را مشخص می کند. در شکل ۳ مشاهده می شود که با کاهش شعاع، ضریب شکست گروه افزایش می یابد اما از رفتار تخت خارج شده و پاشندگی آن افزایش می یابد (شکل ۴) که این ناشی از انتقال نقطه ی برخورد دو نوع هدایت به فرکانس های کمتر و عدد موج های بزرگتر است.



شکل ۲. فرکانس بهنجار بر حسب عدد موج برای شعاع 0/2a (خط)، 0/19a (خط چین)، 0/18a (نقطه چین) و 0/17a (خط نقطه)



شکل ۸، ضریب شکست گروه برای مد دوم هدایت برای دو موجبر با عرض $d=1/4A$ (خط) و $d=1/6A$ (خط چین)

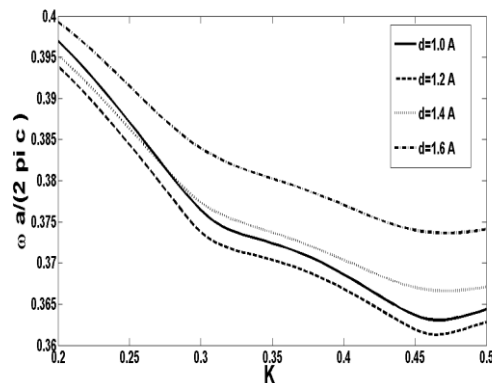
نتیجه گیری

در این پژوهش با استفاده از شبکه لانه زنبوری در موجبر بلور فوتونی نور کند با سرعت گروه $0/06c$ بدون پاشندگی طراحی شده است. محاسبات انجام شده نشان داد که میتوان با تغییر شعاع حفره‌ها و عرض موجبر رفتار تخت باند هدایت را بهبود و پاشندگی آن را کاهش داد.

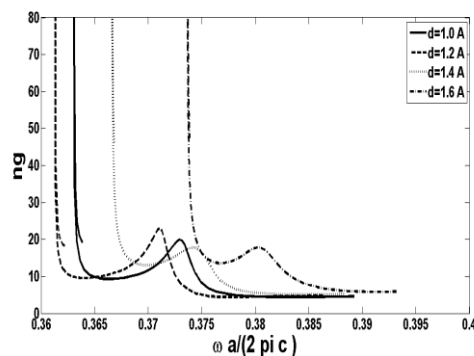
مراجع

- [1] John D. Joannopoulos, Joshua N. Winn *Photonic Crystals: Molding the Flow of Light*
- [2] Steven G. Johnson, Pierre R. Villeneuve, Shanhui Fan, and J. D. Joannopoulos, *Linear waveguides in photonic-crystal slabs*, **PHYSICAL REVIEW B**, 62(2000)
- [3] Attila Mekis, J. C. Chen, I. Kurland, Shanhui Fan, Pierre R. Villeneuve, and J. D. Joannopoulos, *High Transmission through Sharp Bends in Photonic Crystal Waveguides*, **PHYSICAL REVIEW B**, 77(1996)
- [4] A. Ferrando, E. Silvestre, J. J. Miret, and P. Andrés, *Nearly zero ultraflattened dispersion in photonic crystal fibers*, **OPTICS LETTERS**, 25(2000)
- [5] Toshihiko Baba, *Slow light in photonic crystals*, **nature photonics**, 2, 465-476(2008)
- [6] Lars H. Frandsen, Andrei V. Lavrinenko, Jacob Fage-Pedersen, and Peter I. Borel, *Photonic crystal waveguides with semi-slow light and tailored dispersion properties*, **OPTICS EXPRESS**, 14 (2006)
- [7] A. Yu. Petrova and M. Eich, *Zero dispersion at small group velocities in photonic crystal waveguides*, **APPLIED PHYSICS LETTERS**, 85(2004)
- [8] Juntao Li, Thomas P. White, Liam O'Faolain, Alvaro Gomez-Iglesias, and Thomas F. Krauss, *Systematic design of flat band slow light in photonic crystal waveguides*, **OPTICS EXPRESS**, 16(2008)
- [9] Kong-Tao Zhu, Tian-Song Deng, Yan Sun, Qi-Feng Zhang, Jin-Lei Wu, *Slow light property in ring-shape-hole slotted photonic crystal waveguide*, **Optics Communications**, 219(2013)
- [10] Steven G. Johnson and J. D. Joannopoulos, *Block-iterative frequency-domain methods for Maxwell's equations in a planewave basis*, **OPTICS EXPRESS**, 8(2000)
- [11] <http://ab-initio.mit.edu/mpb>
- [12] Steven G. Johnson, M. Ibanescu, M. A. Skorobogatiy, O. Weisberg, J. D. Joannopoulos and Y. Fink, *Perturbation theory for Maxwell's equations with shifting material boundaries*, **PHYSICAL REVIEW E**, 65(2002)

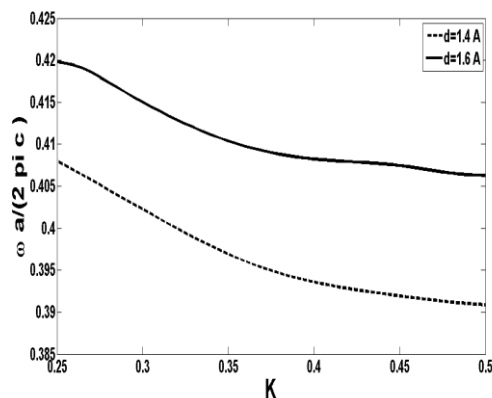
خاصیت تخت و پاشندگی نزدیک به صفر است، هنگامیکه عرض موجبر را به $d=1/6A$ می‌رسانیم، هر دو مد خاصیت تخت یا پله‌ای دارند با این تفاوت که پاشندگی یکی از مدها بسیار بزرگ است شکل ۸ و ۶.



شکل ۵، فرکانس بهنجار بر حسب عدد موج برای مد پایه به ازای عرض موجبر (خط نقطه) $d=1/6A$ ، (نقطه چین) $d=1/4A$ ، (خط چین) $d=1/2A$ و (خط) $d=1/0 A$ عرض موجبر بدون انتقال



شکل ۶، ضریب شکست گروه بر حسب فرکانس بهنجار به ازای عرض موجبر (خط نقطه) $d=1/6A$ ، (نقطه چین) $d=1/4A$ ، (خط چین) $d=1/2A$ و (خط) $d=1/0 A$ عرض موجبر بدون انتقال



شکل ۷، فرکانس بهنجار بر حسب عدد موج برای مد دوم، دو موجبر با عرض (خط چین) $d=1/4A$ و (خط) $d=1/6A$